

3.4.3 2004年秋季(10~11月)分析結果

結果は、以下の表及び図としてまとめた。なお、値はすべてヒ素換算値とした。

表 3.4.5 2004年秋季(10~11月)地下水分析結果一覧表

図 3.4.4 2004年秋季(10~11月)ABトラック地下水 DPAA 汚染状況図

図 3.4.5 2004年秋季(10~11月)A井戸周辺地下水 DPAA 汚染状況図

図 3.4.6 2004年秋季(10~11月)B地区地下水 DPAA 汚染状況図

2004年秋季の採水は、10月25日~11月1日に行った。なお、この採水は10月11日に降った多雨後のものである(1)。

また、A井戸南東90m(掘削調査地点)で行われた掘削調査の関係で、A井戸南東90m(掘削調査地点)周辺とA井戸南側のグラウンド付近の採水は不能となった。

- 1) 神栖市では10月11日に300mm/dayを越える雨が降っており、その後も断続的に雨が続いたことから、地下水位は急激に上昇しており、地下水位分布もこれまでとは異なる傾向となった(詳細は、前述の3.2)。

1) A井戸周辺部

A井戸直近では、南西部分のNo.39でこれまで同様高濃度のジフェニルアルシン酸(DPAA)が検出されているものの(深度30mで15.9mg-As/L)、南東部分のほとんど(No.7、8、13、34、37、70、72、73、89、160)で急激な濃度の低下がみられた(10mg-As/Lを越えるものはなくなった)。

また、A井戸南のグラウンド北西角では、前回高濃度が確認されたNo.27(深度20mで3.1mg-As/L、30mで5.7mg-As/L)に加えて、No.155の深度10mで5.5mg-As/L、20mで7.1mg-As/L、30mで9.7mg-As/Lが確認された。

2) B地区

8月の測定で、これまでB地区最大の2.6pmmを検出したB地区南西のNo.66孔の汚染は、全く見られなくなった。

また、全体的にジフェニルアルシン酸(DPAA)濃度が薄くなるとともに、再びNo.54付近を中心とした汚染分布に変化した。検出された最大濃度はNo.54孔の深度30mの0.34mg-As/Lである。

3) AB間

8月の測定で、A井戸に近い3箇所(No.56、177、181)で認められていた1mg-As/L程度の汚染が全く見られなくなり、その他の箇所についても、ほとんどの箇所で汚染が見られなくなった。

4) ABトラック外周

17孔すべてのモニタリング孔で、ジフェニルアルシン酸(DPAA)は検出されなかった。

8月期と10月期において、特にAB間のジフェニルアルシン酸(DPAA)分布状況が変化したのは、前述したように、採水約2週間前に降った多雨の影響によるものと考えられる。

すなわち、AB間の地下水流動方向は、これまで相対的にA井戸からB地区方面に流れていたものが、この多雨以降AB間中央部を尾根にA井戸側では南東に、B地区側では南西に変わったためと考えられる。

表3.4.5 2004年秋季(10~11月)地下水分析結果一覽表

地点番号	地区	深度(m)	採水日	DPAA	地点番号	地区	深度(m)	採水日	DPAA	地点番号	地区	深度(m)	採水日	DPAA	地点番号	地区	深度(m)	採水日	DPAA
65	B	10	10月25日	N.D.	48	A	10	10月27日	N.D.	48	A	20	10月27日	N.D.	48	A	20	10月27日	N.D.
65	B	20	10月25日	N.D.	48	A	30	10月27日	N.D.	48	A	30	10月27日	35.45	48	A	30	10月27日	35.45
65	B	30	10月25日	N.D.	50	A	10	10月27日	N.D.	50	A	20	10月27日	N.D.	50	A	20	10月27日	N.D.
66	B	10	10月25日	N.D.	50	A	30	10月27日	N.D.	50	A	30	10月27日	N.D.	50	A	30	10月27日	N.D.
66	B	20	10月25日	N.D.	30	A	10	10月28日	N.D.	30	A	20	10月28日	N.D.	30	A	20	10月28日	N.D.
66	B	29	10月25日	N.D.	30	A	25	10月28日	N.D.	30	A	25	10月28日	6.2	30	A	25	10月28日	6.2
67	B	10	10月25日	N.D.	27	A	10	10月29日	N.D.	27	A	20	10月29日	317.4	27	A	20	10月29日	317.4
67	B	26	10月25日	N.D.	27	A	30	10月29日	5708	27	A	30	10月29日	5588	27	A	30	10月29日	5588
64	B	20	10月26日	N.D.	155	A	20	10月29日	7130	155	A	20	10月29日	9788	155	A	20	10月29日	9788
64	B	30	10月26日	N.D.	155	A	30	10月29日	N.D.	155	A	30	10月29日	N.D.	155	A	30	10月29日	N.D.
173	B	10	11月1日	N.D.	47	A	10	10月28日	N.D.	47	A	20	10月28日	N.D.	47	A	20	10月28日	N.D.
173	B	20	11月1日	250	49	A	10	10月28日	N.D.	49	A	10	10月28日	N.D.	49	A	10	10月28日	N.D.
190	B	10	10月25日	N.D.	49	A	20	10月28日	N.D.	49	A	20	10月28日	N.D.	49	A	20	10月28日	N.D.
190	B	26	10月25日	N.D.	156	A	10	10月29日	N.D.	156	A	10	10月29日	N.D.	156	A	10	10月29日	N.D.
172	B	20	10月25日	9.71	156	A	20	10月29日	N.D.	156	A	20	10月29日	107	156	A	20	10月29日	107
172	B	29	10月25日	13.9	40	A	10	10月29日	1.94	40	A	10	10月29日	1.94	40	A	10	10月29日	1.94
188	B	10	10月25日	N.D.	40	A	20	10月29日	112.44	40	A	20	10月29日	112.44	40	A	20	10月29日	112.44
169	B	10	10月25日	4.5	40	A	27	10月29日	229	40	A	27	10月29日	229	40	A	27	10月29日	229
169	B	30	10月25日	30.2	79	A	10	10月29日	1.64	79	A	10	10月29日	1.64	79	A	10	10月29日	1.64
189	B	10	10月25日	N.D.	79	A	20	10月29日	5.06	79	A	20	10月29日	2032	79	A	20	10月29日	2032
67	B	10	10月26日	N.D.	39	A	10	10月29日	11.24	39	A	10	10月29日	3926	39	A	10	10月29日	3926
67	B	20	10月26日	N.D.	39	A	20	10月29日	15938	39	A	20	10月29日	15938	39	A	20	10月29日	15938
67	B	30	10月26日	N.D.	158	A	10	10月29日	N.D.	158	A	10	10月29日	N.D.	158	A	10	10月29日	N.D.
170	B	10	10月25日	10.97	158	A	20	10月29日	30.34	158	A	20	10月29日	30.34	158	A	20	10月29日	30.34
170	B	20	10月25日	14.03	6	A	10	10月29日	N.D.	6	A	10	10月29日	N.D.	6	A	10	10月29日	N.D.
170	B	30	10月25日	24.45	6	A	20	10月29日	N.D.	6	A	20	10月29日	N.D.	6	A	20	10月29日	N.D.
166	B	10	10月28日	94.56	6	A	28	10月29日	9.7	6	A	28	10月29日	9.7	6	A	28	10月29日	9.7
166	B	20	10月28日	142.24	34	A	10	10月29日	N.D.	34	A	10	10月29日	N.D.	34	A	10	10月29日	N.D.
166	B	30	10月28日	305.2	34	A	26	10月29日	N.D.	34	A	26	10月29日	N.D.	34	A	26	10月29日	N.D.
187	B	10	10月25日	N.D.	42	A	10	10月29日	17.52	42	A	10	10月29日	17.52	42	A	10	10月29日	17.52
58	B	10	10月25日	N.D.	42	A	26	10月29日	21.61	42	A	26	10月29日	21.61	42	A	26	10月29日	21.61
58	B	20	10月25日	N.D.	7	A	10	10月29日	N.D.	7	A	10	10月29日	N.D.	7	A	10	10月29日	N.D.
58	B	29	10月25日	1.44	7	A	20	10月29日	N.D.	7	A	20	10月29日	N.D.	7	A	20	10月29日	N.D.
171	B	10	10月25日	N.D.	7	A	26	10月29日	N.D.	7	A	26	10月29日	N.D.	7	A	26	10月29日	N.D.
171	B	20	10月25日	1.22	38	A	10	10月29日	N.D.	38	A	10	10月29日	N.D.	38	A	10	10月29日	N.D.
171	B	30	10月25日	5.37	38	A	20	10月29日	N.D.	38	A	20	10月29日	N.D.	38	A	20	10月29日	N.D.
54	B	10	10月28日	221.4	24	A	10	11月1日	N.D.	24	A	10	11月1日	N.D.	24	A	10	11月1日	N.D.
54	B	20	10月28日	269.6	24	A	20	11月1日	N.D.	24	A	20	11月1日	N.D.	24	A	20	11月1日	N.D.
54	B	30	10月28日	344.3	70	A	10	10月29日	N.D.	70	A	10	10月29日	N.D.	70	A	10	10月29日	N.D.
191	B	10	11月1日	N.D.	70	A	20	10月29日	N.D.	70	A	20	10月29日	N.D.	70	A	20	10月29日	N.D.
191	B	16	11月1日	N.D.	8	A	10	10月29日	N.D.	8	A	10	10月29日	N.D.	8	A	10	10月29日	N.D.
168	B	10	10月25日	N.D.	8	A	26	10月29日	N.D.	8	A	26	10月29日	N.D.	8	A	26	10月29日	N.D.
168	B	20	10月25日	N.D.	89	A	10	10月29日	N.D.	89	A	10	10月29日	N.D.	89	A	10	10月29日	N.D.
168	B	29	10月25日	N.D.	89	A	20	10月29日	N.D.	89	A	20	10月29日	N.D.	89	A	20	10月29日	N.D.
165	B	10	10月28日	N.D.	89	A	28	10月29日	N.D.	89	A	28	10月29日	N.D.	89	A	28	10月29日	N.D.
165	B	20	10月28日	N.D.	25	A	10	11月1日	N.D.	25	A	10	11月1日	N.D.	25	A	10	11月1日	N.D.
165	B	30	10月28日	2.64	25	A	20	11月1日	N.D.	25	A	20	11月1日	N.D.	25	A	20	11月1日	N.D.
167	B	10	11月1日	2.59	68	A	10	10月29日	7.16	68	A	10	10月29日	7.16	68	A	10	10月29日	7.16
167	B	20	11月1日	11.84	68	A	20	10月29日	N.D.	68	A	20	10月29日	N.D.	68	A	20	10月29日	N.D.
162	B	10	10月28日	85.49	68	A	30	10月29日	2760	68	A	30	10月29日	2760	68	A	30	10月29日	2760
162	B	20	10月28日	75.49	13	A	10	10月29日	2.4	13	A	10	10月29日	2.4	13	A	10	10月29日	2.4
162	B	30	10月28日	129.44	13	A	20	10月29日	N.D.	13	A	20	10月29日	N.D.	13	A	20	10月29日	N.D.
63	B	10	10月25日	N.D.	13	A	30	10月29日	N.D.	13	A	30	10月29日	N.D.	13	A	30	10月29日	N.D.
63	B	20	10月25日	N.D.	74	A	10	10月29日	8.25	74	A	10	10月29日	8.25	74	A	10	10月29日	8.25
192	B	10	10月28日	N.D.	74	A	20	10月29日	135.04	74	A	20	10月29日	135.04	74	A	20	10月29日	135.04
163	B	10	10月28日	N.D.	74	A	30	10月29日	2068	74	A	30	10月29日	2068	74	A	30	10月29日	2068
163	B	20	10月28日	N.D.	160	A	10	10月29日	N.D.	160	A	10	10月29日	N.D.	160	A	10	10月29日	N.D.
163	B	29	10月28日	45.86	160	A	20	10月29日	N.D.	160	A	20	10月29日	N.D.	160	A	20	10月29日	N.D.
164	B	10	10月25日	N.D.	160	A	30	10月29日	N.D.	160	A	30	10月29日	N.D.	160	A	30	10月29日	N.D.
164	B	20	10月25日	N.D.	35	A	10	10月29日	N.D.	35	A	10	10月29日	N.D.	35	A	10	10月29日	N.D.
164	B	29	10月25日	N.D.	35	A	18	10月29日	N.D.	35	A	18	10月29日	N.D.	35	A	18	10月29日	N.D.
62	B	10	10月26日	N.D.	37	A	10	10月29日	1.97	37	A	10	10月29日	1.97	37	A	10	10月29日	1.97
62	B	20	10月26日	N.D.	37	A	20	10月29日	587.9	37	A	20	10月29日	587.9	37	A	20	10月29日	587.9
62	B	29	10月26日	3.67	71	A	10	10月29日	3.68	71	A	10	10月29日	3.68	71	A	10	10月29日	3.68
60	B	10	10月28日	N.D.	71	A	20	10月29日	47.91	71	A	20	10月29日	47.91	71	A	20	10月29日	47.91
60	B	20	10月28日	N.D.	71	A	30	10月29日	2613	71	A	30	10月29日	2613	71	A	30	10月29日	2613
59	B	10	10月28日	N.D.	72	A	10	10月29日	N.D.	72	A	10	10月29日	N.D.	72	A	10	10月29日	N.D.
59	B	20	10月28日	N.D.	72	A	20	10月29日	291.7	72	A	20	10月29日	291.7	72	A	20	10月29日	291.7
59	B	29	10月28日	N.D.	72	A	30	10月29日	1754	72	A	30	10月29日	1754	72	A	30	10月29日	1754
61	B	10	10月28日	N.D.	73	A	10	10月29日	4.75	73	A	10	10月29日	4.75	73	A	10	10月29日	4.75
61	B	20	10月28日	N.D.	73	A	20	10月29日	25.59	73	A	20	10月29日	25.59	73	A	20	10月29日	25.59
61	B	27	10月28日	N.D.	73	A	30	10月29日	370.4	73	A	30	10月29日	370.4	73	A	30	10月29日	370.4
193	AB	10	10月28日	N.D.	36	A	10	10月29日	N.D.	36	A	10	10月29日	N.D.	36	A	10	10月29日	N.D.
193	AB	20	10月28日	N.D.	36	A	20	10月29日	N.D.	36	A	20	10月29日	N.D.	36	A	20	10月29日	N.D.
193	AB	30	10月28日	N.D.	69	A	10	10月29日	1.55	69	A	10	10月29日	1.55	69	A	10	10月29日	1.55
174	AB	10	10月28日	1.11	69	A	20	10月29日	30.04	69	A	20	10月29日	30.04	69	A	20	10月29日	30.04
174	AB	20	10月28日	15.22	69	A	30	10月29日	1426	69	A	30	10月29日	1426	69	A	30	10月29日	1426
174	AB	30	10月28日	48.77	43	A	10	11月1日	54.83	43	A	10	11月1日	54.83	43	A	10	11月1日	54.83

図3.4.4 2004年秋季(10~11月)ABトラック地下水DPAA汚染状況図 単位: $\mu\text{g-As/L}$

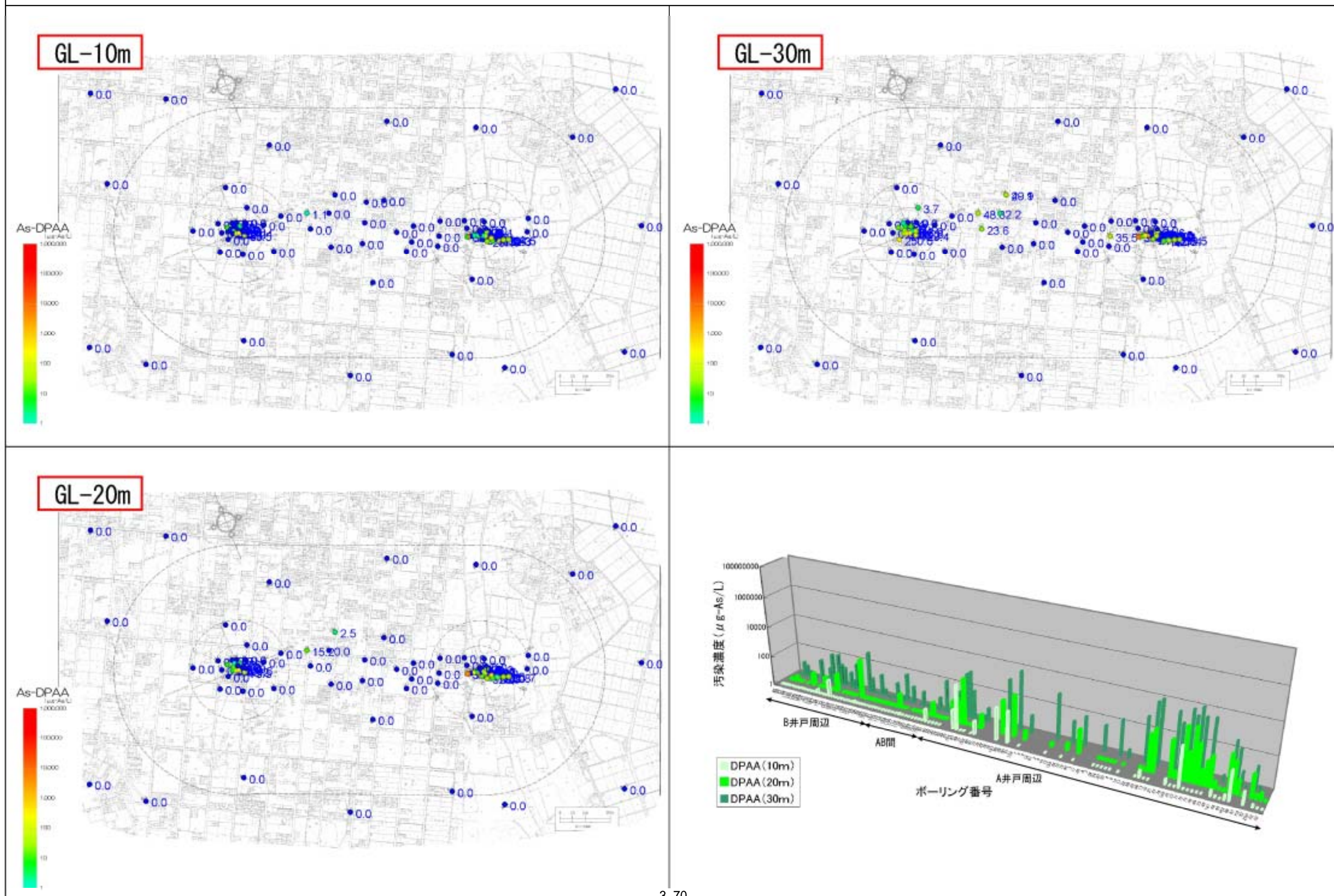


図3.4.5 2004年秋季(10~11月)A井戸周辺地下水DPAA汚染状況図

単位: $\mu\text{g-As/L}$

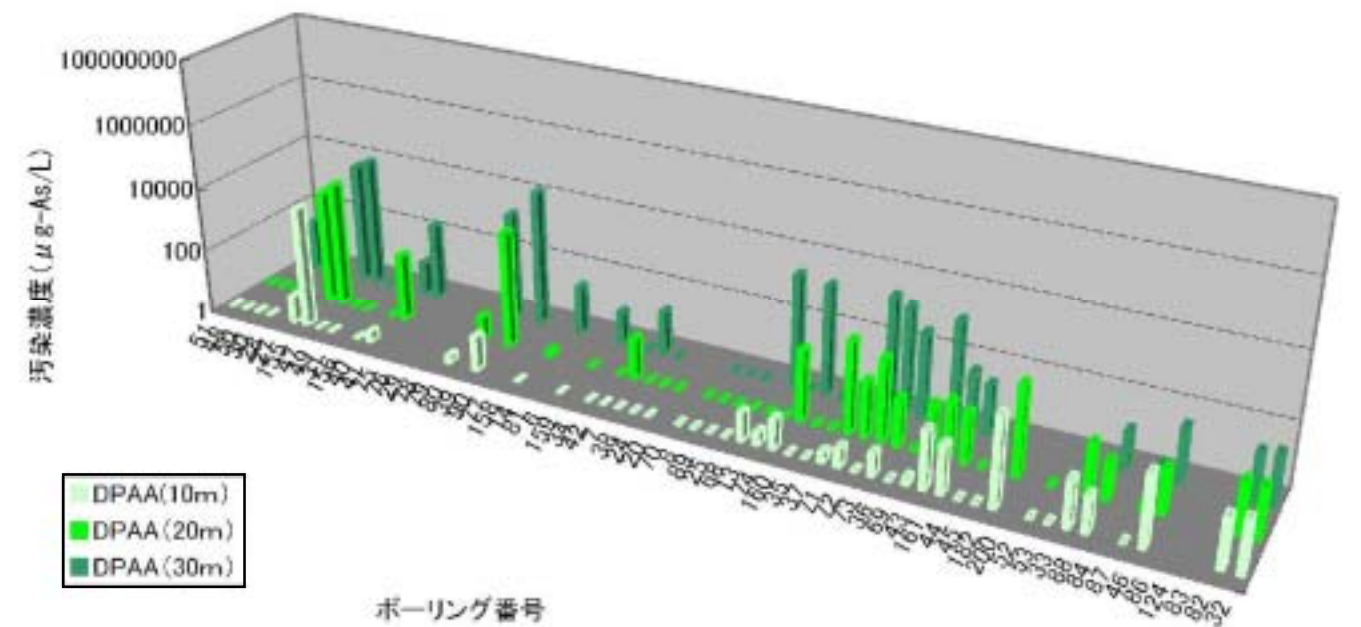
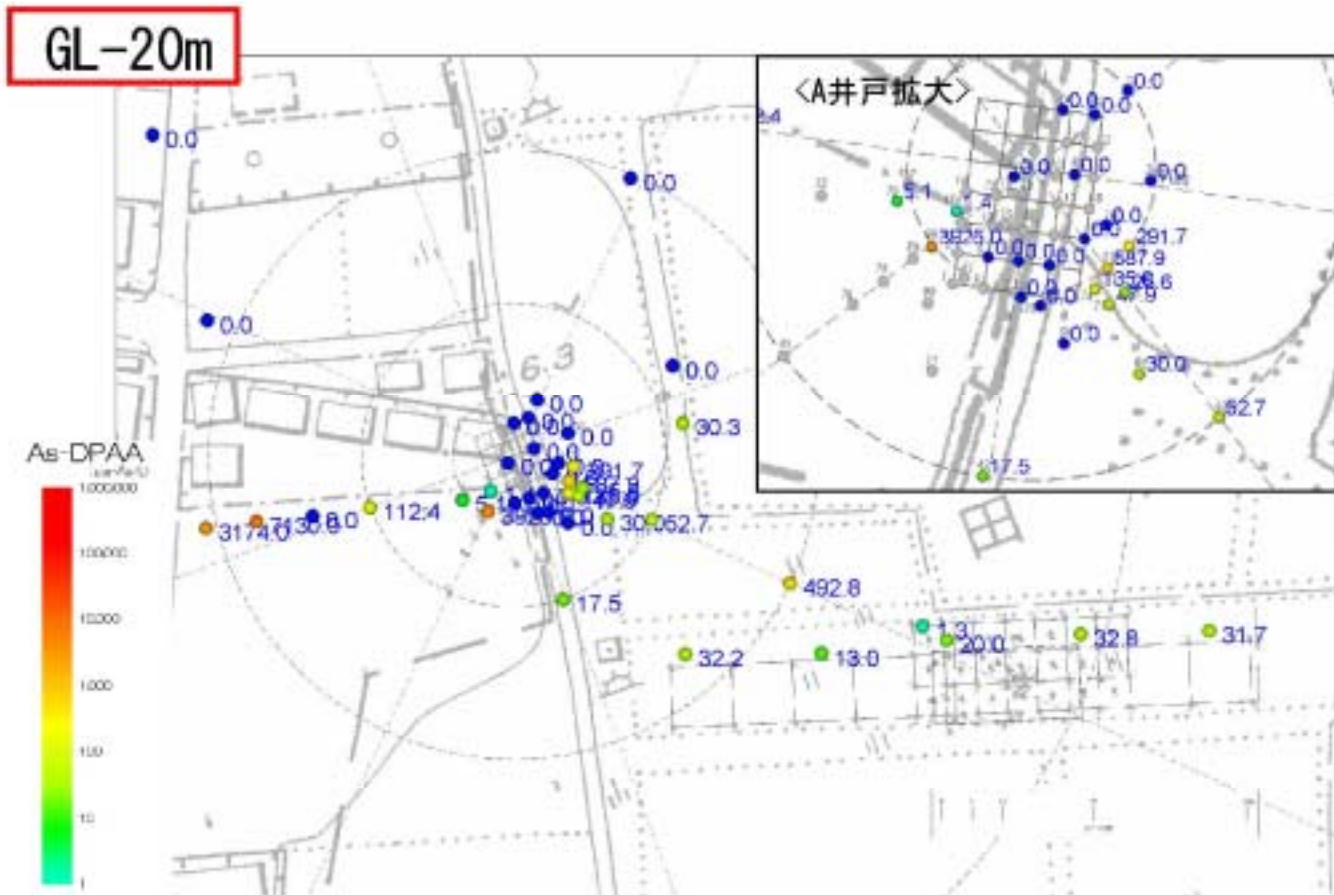
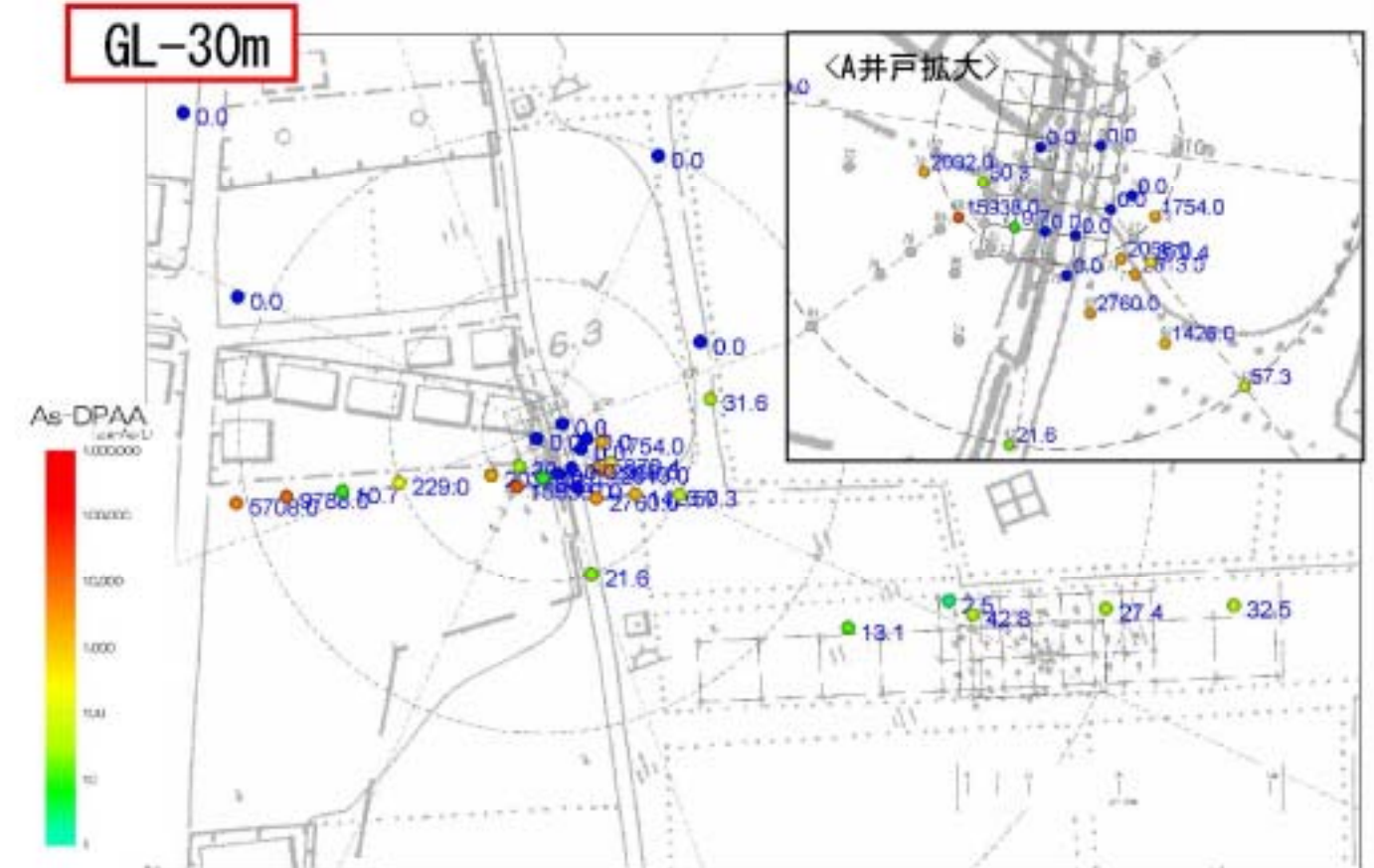
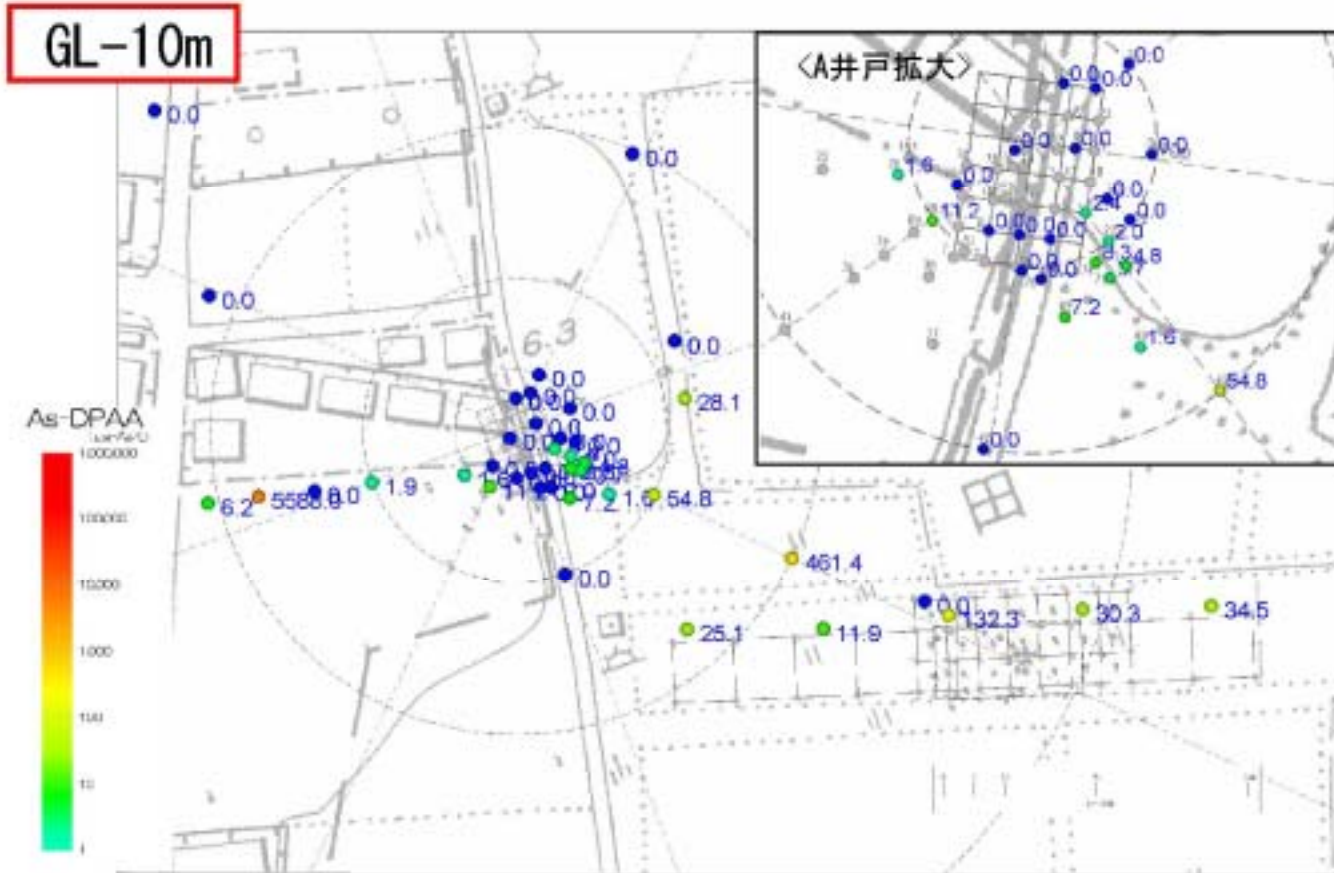


図3.4.6 2004年秋季(10~11月)B地区地下水DPAA汚染状況図

単位: $\mu\text{g-As/L}$

